

УДК 530.1

ДИНАМИКА СОЛИТОНОВ ОБОБЩЕННОГО УРАВНЕНИЯ NLS В НЕОДНОРОДНОЙ И НЕСТАЦИОНАРНОЙ СРЕДЕ: ЭВОЛЮЦИЯ И ВЗАИМОДЕЙСТВИЕ

© 2021 г. В. Ю. Белашов^{1,*}, О. А. Харшиладзе², Е. С. Белашова³

¹Казанский (Приволжский) федеральный университет, г. Казань, Россия

²Тбилисский государственный университет им. И. Джавахишвили, г. Тбилиси, Грузия

³Казанский национальный исследовательский технический университет

им. А.Н. Туполева, г. Казань, Россия

*e-mail: vybelashov@yahoo.com

Поступила в редакцию 22.06.2020 г.

После доработки 27.07.2020 г.

Принята к публикации 24.09.2020 г.

Изучена устойчивость и динамика взаимодействия солитоноподобных решений обобщенного нелинейного уравнения Шредингера, описывающего динамику огибающей модулированных нелинейных волн и импульсов (в том числе явления волнового коллапса и самофокусировки волновых пучков) в плазме (включая космическую), а также в нелинейных оптических системах с учетом неоднородности и нестационарности среды распространения. Уравнение используется и в других областях физики – таких, например, как теория сверхпроводимости и физика низких температур, гравитационные волны малой амплитуды на поверхности глубокой невязкой жидкости и др. Следует отметить, что исследуемое уравнение не является полностью интегрируемым, и его аналитические решения в общем случае не известны (за исключением, пожалуй, гладких решений типа уединенных волн). Однако, используя ранее развитые нами подходы для других уравнений (обобщенное уравнение Кадомцева–Петвиашвили и 3-мерное нелинейное уравнение Шредингера с производной нелинейного члена) системы Белашова–Карпмана, можно аналитически исследовать устойчивость возможных решений данного уравнения, а динамику взаимодействия солитонов изучить численно. Именно такой подход реализован в работе. Аналитически получены достаточные условия устойчивости 2- и 3-мерных солитоноподобных решений и численно изучены случаи устойчивой и неустойчивой (с образованием бризеров) эволюции импульсов различной формы, а также взаимодействие 2- и 3-импульсных структур, приводящее к формированию устойчивых и неустойчивых решений. Полученные результаты могут быть полезны в многочисленных приложениях в физике ионосферной и магнитосферной плазмы и многих других областях физики.

DOI: 10.31857/S0016794021020036

1. ВВЕДЕНИЕ. ОСНОВНЫЕ УРАВНЕНИЯ

Если в системе ВК (Belashov-Karpman system) [Belashov and Vladimirov, 2005; Belashov et al., 2018a]

$$\partial_t u + \hat{A}(t, u)u = f, \quad f = \sigma \int_{-\infty}^x \Delta_{\perp} u dx + f', \quad (1)$$

$$\Delta_{\perp} = \partial_y^2 + \partial_z^2$$

оператор имеет вид $\hat{A}(t, u) = i[\gamma|u|^2 - \beta\partial_x^2] + \alpha/2$, она представляет собой 3-мерное (3D) обобщенное нелинейное уравнение Шредингера (3-GNLS) [Belashov et al., 2018b]:

$$\partial_t u + i\gamma|u|^2 u - i\beta\partial_x^2 u + (\alpha/2)u = \sigma \int_{-\infty}^x \Delta_{\perp} u dx + f', \quad (2)$$

где $\alpha, \beta, \gamma = \varphi(t, x, y, z)$, $f' = f'(t, x, y, z)$ и $(\alpha/2)u$ описывает диссипативные эффекты, а u есть огибающая волнового пакета (импульса). Уравнение 3-GNLS (2) описывает динамику огибающей модулированных нелинейных волн и импульсов (волновых пакетов) в средах с дисперсией и имеет многочисленные важные приложения в физике плазмы (например, описывает распространение ленгмюровских волн в горячей плазме), нелинейной оптике (распространение световых импульсов в кристаллах, оптоволокне и плоских оптических волноводах), оно описывает, в частности, такие явления, как турбулентность, волновой коллапс и оптическая самофокусировка. Уравнение (2) используется и в других областях физики – таких, например, как теория сверхпроводимости и физика низких температур (в частности, обыч-

ное уравнение NLS есть упрощенная 1D форма уравнения Гинзбурга–Ландау [Гинзбург и Ландау, 1950], впервые введенного ими в 1950 г. при описании сверхпроводимости), гравитационные волны малой амплитуды на поверхности глубокой невязкой жидкости и др. Отметим, что 3D-уравнение (2) не является полностью интегрируемым, и его аналитические решения в общем случае не известны (за исключением, пожалуй, гладких решений типа уединенных волн). Однако, с использованием подходов, развитых в работах [Белашов, 1991, 1999] для других уравнений системы ВК (обобщенное уравнение Кадомцева–Петвиашвили – уравнение ГКР, когда в системе (1) $\hat{A}(t, u) = \alpha u \partial_x - \partial_x^2(v - \beta \partial_x - \gamma \partial_x^3)$, и 3-мерное нелинейное уравнение Шредингера с производной нелинейного члена – 3-DNLS, если оператор в (1) $\hat{A}(t, u) = 3s|p|^2 u^2 \partial_x - \partial_x^2(i\lambda + v)$), мы можем исследовать устойчивость возможных решений уравнения 3-GNLS. При этом динамике взаимодействия солитоноподобных структур уравнения GNLS можно изучить численно с использованием методов, развитых Belashov and Vladimirov [2005]. Решение такой задачи является целью настоящей работы.

1. ИССЛЕДОВАНИЕ УСТОЙЧИВОСТИ РЕШЕНИЙ

Запишем уравнение (2) с $\alpha = 0$ (уравнение 3-NLS) в гамильтоновой форме:

$$\partial_t u = \partial_x (\delta H / \delta u), \tag{3}$$

где гамильтониан, имеющий смысл энергии системы, $H = \int_{-\infty}^{\infty} \left[\frac{\gamma}{2} |u|^4 + \beta u u^* \partial_x \varphi + \frac{1}{2} \sigma (\nabla_{\perp} \partial_x w)^2 \right] dr$, $\partial_x^2 w = u$, $\varphi = \arg(u)$.

Используя метод анализа трансформационных свойств гамильтониана, подробно изложенный для уравнений системы ВК в работах [Белашов, 1991, 1999; Belashov and Vladimirov, 2005] и впервые примененный для существенно более простых случаев “классического” уравнения Кадомцева–Петвиашвили в работе [Кузнецов и Муссер, 1986] и уравнения NLS в работе [Захаров и Кузнецов, 2012], исследуем устойчивость 2D- и 3D-решений уравнения (2). При этом задача для уравнения (3) формулируется в виде вариационного уравнения $\delta(H + v P_x) = 0$, $P_x = \frac{1}{2} \int u^2 dr$, смысл которого состоит в том, что все финитные решения уравнения (3) есть стационарные точки гамильтониана H при фиксированном значении проекции импульса P_x . В соответствии с теоремой Ляпунова об устойчивости, в динамической системе точки, которые соответствуют минимуму или максимуму гамильтониана H, являются абсо-

лютно устойчивыми. Если же экстремум локальный, ему будут соответствовать локально устойчивые решения.

Рассмотрим деформации H, сохраняющие проекцию импульса P_x :

$$u(x, r_{\perp}) \rightarrow \zeta^{-1/2} \eta^{-1} u(x/\zeta, r_{\perp}/\eta), \quad \zeta, \eta \in \mathbb{C}.$$

Гамильтониан примет вид $H(\zeta, \eta) = a \zeta^{-1} \eta^{-2} + b \zeta^{-1} - c \zeta^2 \eta^{-2}$ с коэффициентами

$$a = (\gamma/2) \int |u|^4 dr, \quad b = \beta \int u u^* \partial_x \varphi dr, \tag{4}$$

$$c = (\sigma/2) \int (\nabla_{\perp} \partial_x w)^2 dr.$$

Из необходимых условий экстремума $\partial_{\zeta} H = 0$, $\partial_{\eta} H = 0$ сразу же найдем его координаты:

$$\zeta_0 = -ac^{-1}, \quad \eta_0 = [-ab^{-1}(1 + a^2 c^{-2})]^{1/2},$$

где $b < 0$, если $\eta \in \mathbb{R} \subset \mathbb{C}$, поскольку $a > 0$, $c > 0$ по определению, и $b > 0$, если $\eta \in \mathbb{C}$. Достаточные условия минимума в точке (ζ_i, η_j) :

$$\left| \begin{matrix} \partial_{\zeta}^2 H(\zeta_i, \eta_j) & \partial_{\zeta \eta}^2 H(\zeta_i, \eta_j) \\ \partial_{\eta \zeta}^2 H(\zeta_i, \eta_j) & \partial_{\eta}^2 H(\zeta_i, \eta_j) \end{matrix} \right| > 0,$$

$$\partial_{\zeta}^2 H(\zeta_i, \eta_j) > 0.$$

Решая данную систему неравенств, получим, что для волн в случае $b < 0$ (положительная нелинейность) $a/c < d = (2\sqrt{2})^{-1} \sqrt{13 + \sqrt{185}}$, откуда следует, что $H > -3bd/(1 + 2d^2)$, то есть гамильтониан ограничен снизу. При $b > 0$ (отрицательная нелинейность): замена $b \rightarrow -b$ эквивалентна замене $y \rightarrow -iy$, $z \rightarrow -iz$ и $H < -3bd/(1 + 2d^2)$, то есть гамильтониан снизу не ограничен (ограничен сверху).

Итак, мы доказали возможность существования устойчивых 3D-решений в модели 3-NLS и получили условия их устойчивости, то есть определили области значений коэффициентов уравнения (переменных во времени и пространстве характеристик среды), когда 3D-солитоны будут устойчивыми.

2. ЧИСЛЕННОЕ ИССЛЕДОВАНИЕ ЭВОЛЮЦИИ И ДИНАМИКИ ВЗАИМОДЕЙСТВИЯ СОЛИТОНОВ GNLS

Численное исследование эволюции и динамики взаимодействия солитоноподобных структур уравнения 3-GNLS проводилось нами с использованием методов, разработанных и детально описанных в работе [Belashov and Vladimirov, 2005]. Результаты моделирования для общего случая неоднородной и нестационарной среды подтверждают сделанные на основе аналитического рассмотрения проблемы заключения. В качестве

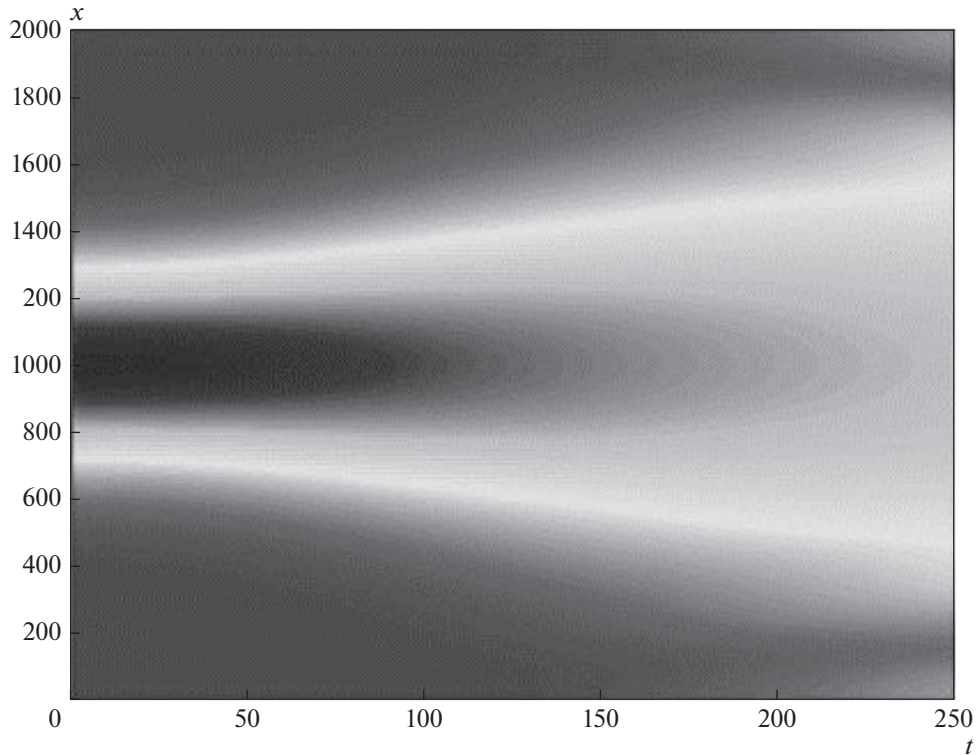


Рис. 1. Эволюция гауссова импульса огибающей при $A = 2$, $l = 2$; $\beta = 0.5$, $\gamma = 0$.

иллюстрации на рисунках 1 и 2 представлены результаты, полученные при $\sigma = 0$ (1D-случай) для начальных условий в виде солитоноподобного импульса огибающей:

$$u(x, 0) = A \exp(-x^2/l),$$

$$u(x, 0) = A \exp[-(x - 5)^2/l] + A \exp[-(x + 5)^2/l],$$

соответственно, в простейшем случае уравнения NLS с β , $\gamma = \text{const}$ (стационарная среда); $\alpha, f' = 0$ при отрицательной нелинейности, $\beta > 0$. При этом $b > 0$ и гамильтониан $H > 3bd/(1 + 2d^2)$, а значит условие устойчивости для отрицательной нелинейности, $H < 3bd/(1 + 2d^2)$, не выполняется, и, как видно из рисунков, мы наблюдаем рассеяние импульсов огибающей со временем.

Примеры, когда коэффициент $\gamma \neq 0$ и условие устойчивости для положительной нелинейности $H > 3bd/(1 + 2d^2) > 0$ не выполняется и когда условие для отрицательной нелинейности $H < 0 < -3bd/(1 + 2d^2)$ удовлетворено, показаны соответственно на рисунках 3 и 4.

В первом случае мы наблюдаем рассеяние импульса огибающей со временем, а во втором имеет место стабилизация решения и формирование солитона из начального импульса.

На рисунке 5 показан результат для того же, как и на рис. 4, случая отрицательной нелинейности [$\beta < 0$, $\gamma < 0$ и $a, b < 0$ в формулах (4)], однако

здесь имеет место случай сильной отрицательной нелинейности, когда $\gamma = -1$ и наблюдается появление квазиустойчивых мощных солитоноподобных пульсаций типа бризеров.

В численных экспериментах для уравнения GNLS (2) с $\sigma = 0$ при $\beta, \gamma = \varphi(t)$; $\alpha, f' = 0$ нами было установлено, что квазиустойчивая эволюция начального гауссова импульса может наблюдаться, когда в нестационарной среде с отрицательной нелинейностью условие устойчивости $H < -3bd/(1 + 2d^2)$ удовлетворено. В этом случае можно наблюдать пульсации со сдвигом импульса в процессе его эволюции в x -направлении (рис. 6).

На рисунке 7 представлены два примера результатов эволюции гауссова импульса в нестационарной среде при отрицательной нелинейности, когда условие устойчивости $H < -3bd/(1 + 2d^2)$ выполняется. В результате эволюции при этом наблюдается возникновение из начального уединенного импульса мощных устойчивых пульсаций типа бризеров.

Пример взаимодействия солитоноподобных начальных импульсов вида

$$u(x, 0) = A[\text{sch}(x) + \text{sch}(x - s/2) + \text{sch}(x + s/2)], \quad (5)$$

$$u(x, 0) = A[\text{sch}(x - s/2) + \text{sch}(x + s/2)]$$

при отрицательной нелинейности в рамках модели GNLS приведен на рис. 8, 9, соответственно.

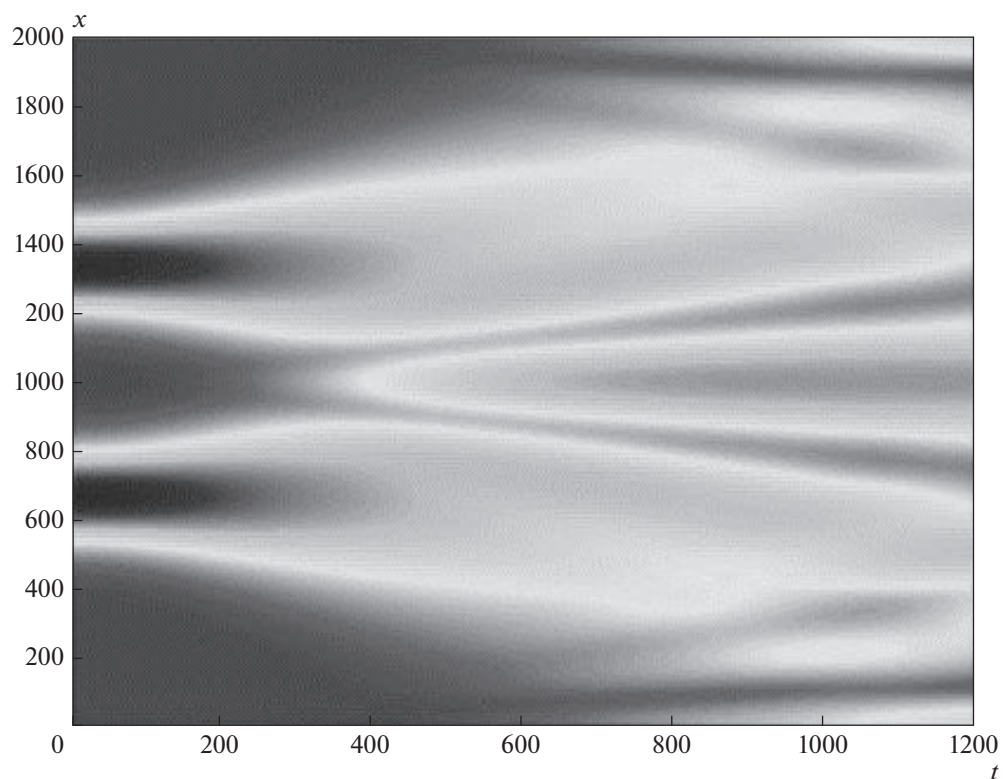


Рис. 2. Эволюция гауссова 2-импульсного возмущения огибающей при $A = 1$, $l = 4$; $\beta = 0.5$, $\gamma = 0$.

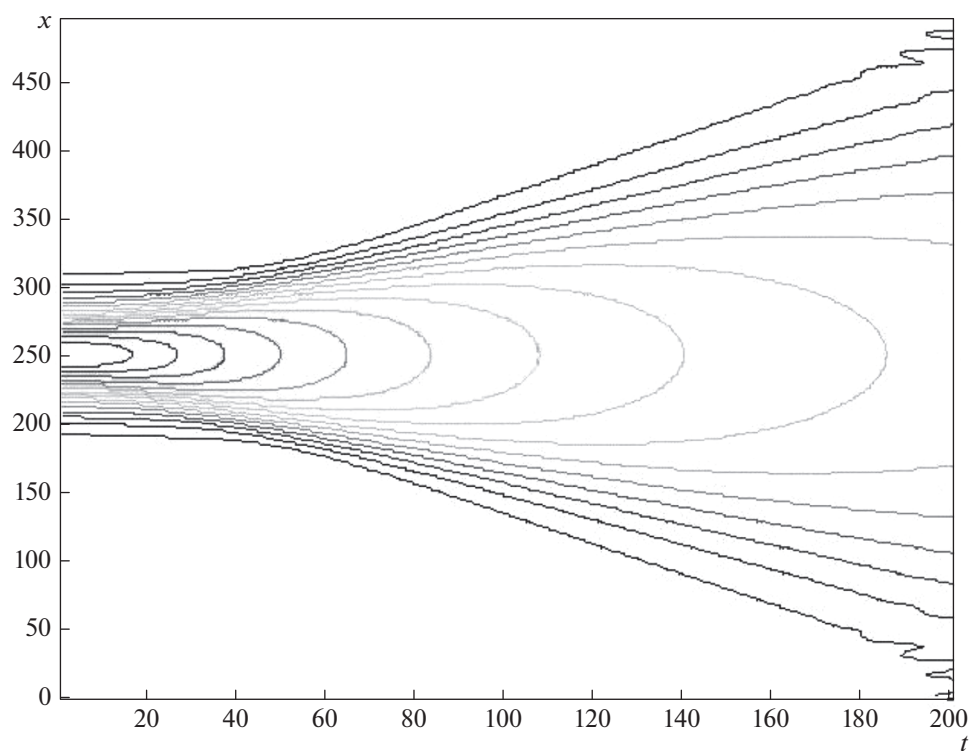


Рис. 3. Эволюция гауссова импульса огибающей при $A = 1$, $l = 4$; $\beta < 0$, $\gamma > 0$ (положительная нелинейность).

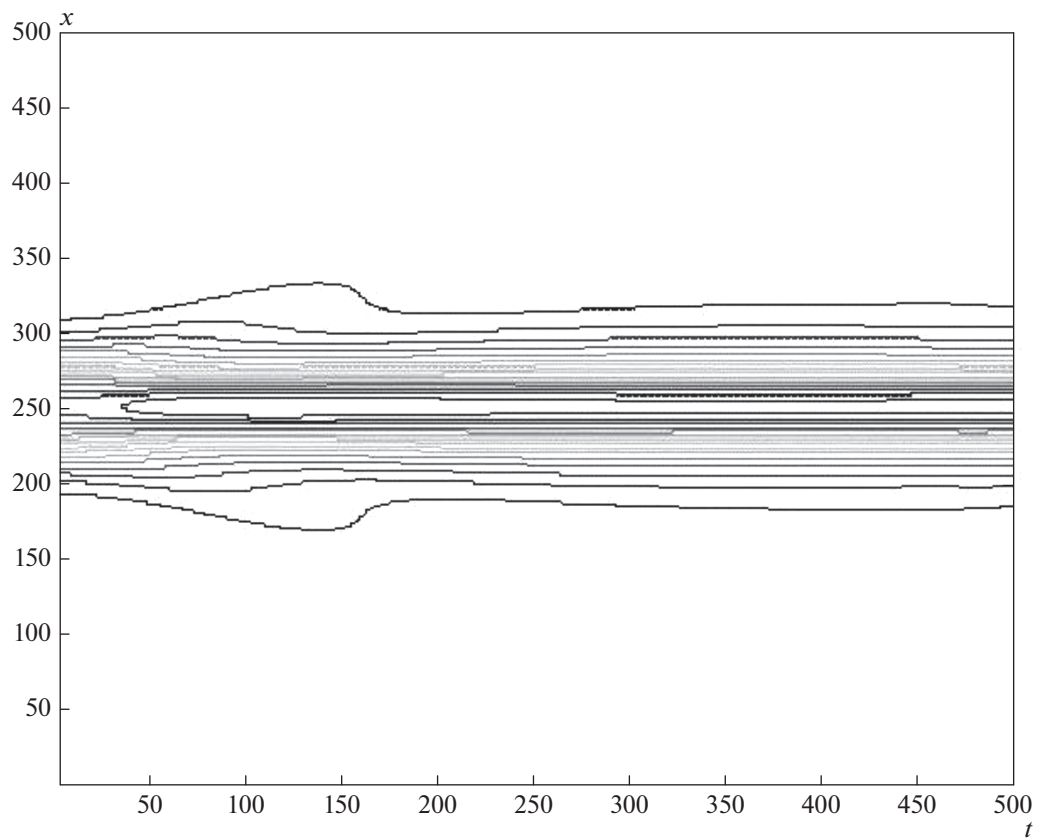


Рис. 4. Эволюция гауссова импульса огибающей при $A = 1$, $l = 4$; $\beta < 0$, $\gamma = -0.5 < 0$ (отрицательная нелинейность).

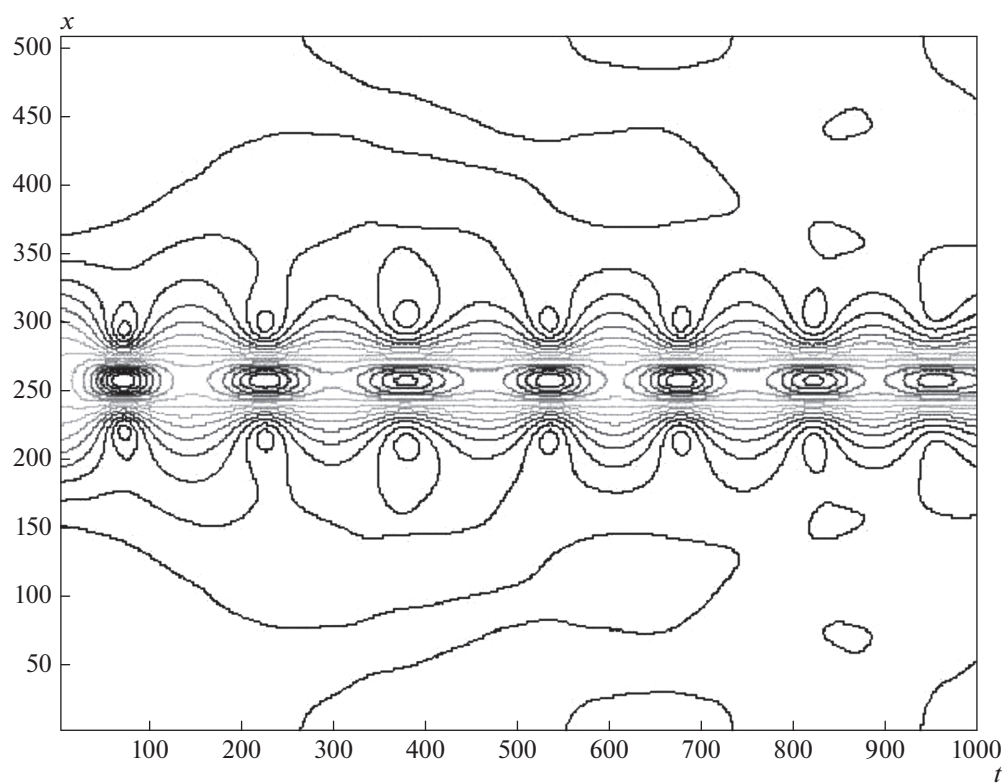


Рис. 5. Эволюция гауссова импульса огибающей при $A = 1$, $l = 4$; $\beta < 0$, $\gamma = -1$.

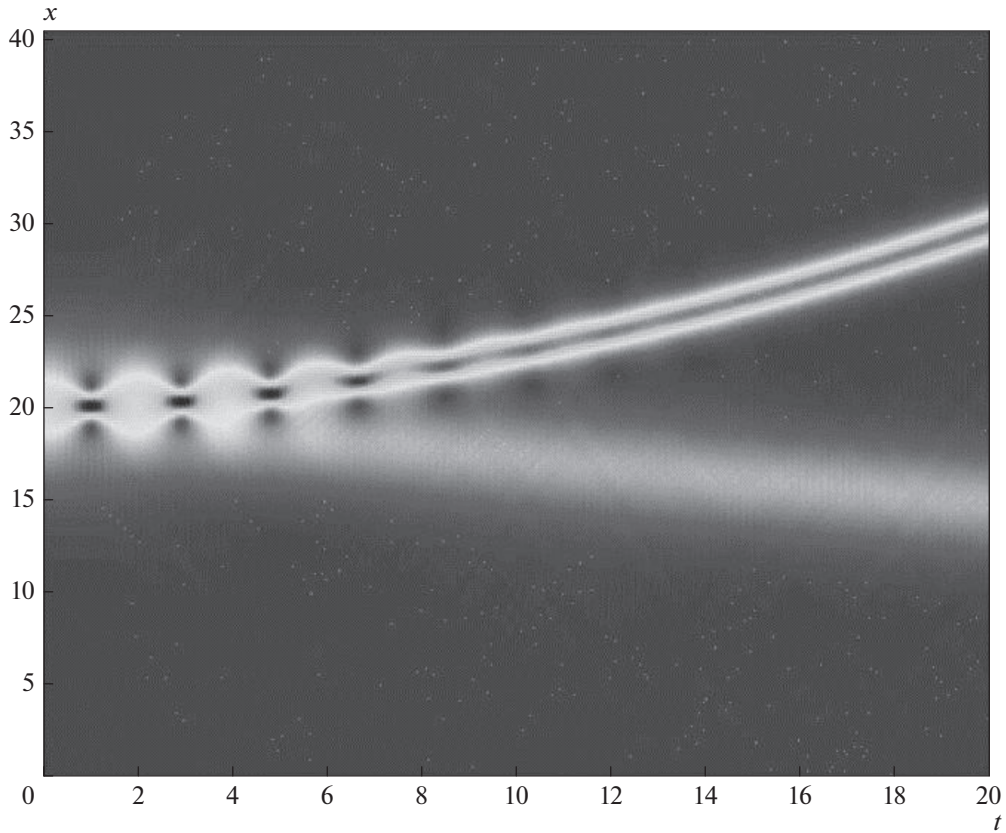


Рис. 6. Эволюция гауссова импульса огибающей при $A = 1$, $l = 4$; $\beta(t) = -0.5(1 + \sin 0.1\pi t)$, $\gamma = -1$.

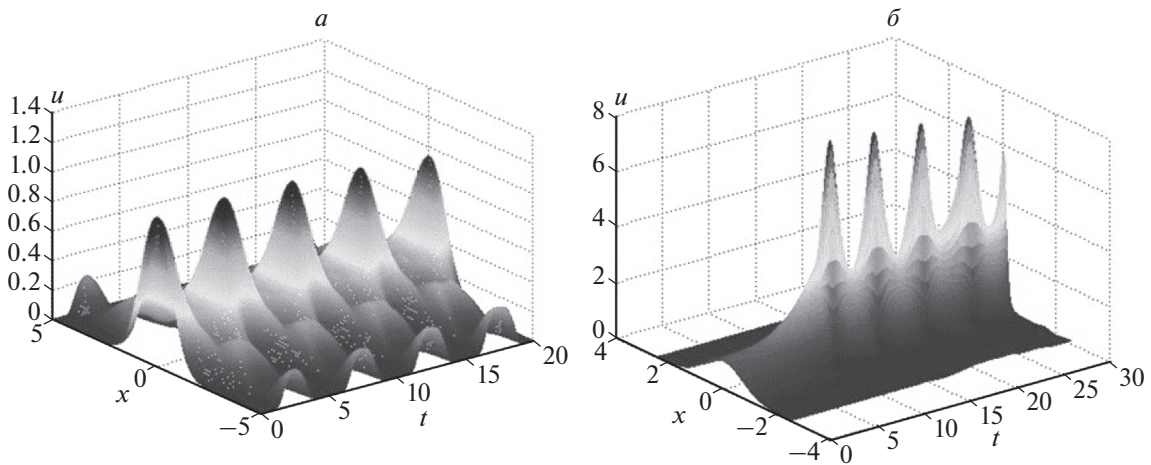


Рис. 7. Эволюция гауссова импульса огибающей в нестационарной среде при $\alpha, f = 0$: (а) $\beta = 0.5$, $\gamma = -1 + 0.01 \sin 2\pi t$; (б) $\gamma = -1$, $\beta(t) = -0.5$ при $t \leq 5$ и $\beta(t) = 0.5(1 + 0.2 \sin 2\pi t)$ при $t > 5$; случаи отрицательной нелинейности.

В первом случае условие устойчивости не выполняется, и мы наблюдаем на первом этапе возникновение одного мощного импульса из 3-импульсного начального возмущения и далее, со временем, его распад на два импульса малой амплитуды. Во втором случае, условие устойчивости выпол-

нено, и имеет место устойчивая эволюция 2-импульсного возмущения.

Интересно отметить, что, когда в некоторый момент времени поле становится нестационарным, устойчивость многоимпульсного возмущения может нарушаться и процесс эволюции пере-

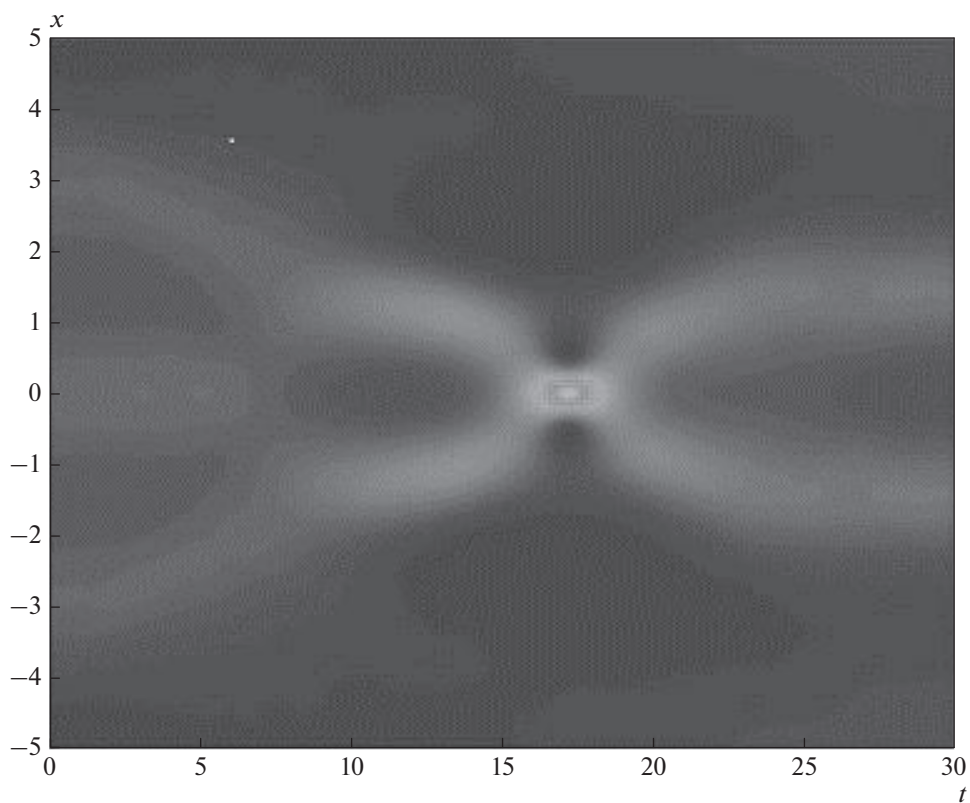


Рис. 8. Взаимодействие трех импульсов GNLS (стационарная среда) при $\gamma = -1$, $\beta = 0.25$; случай слабой отрицательной нелинейности.

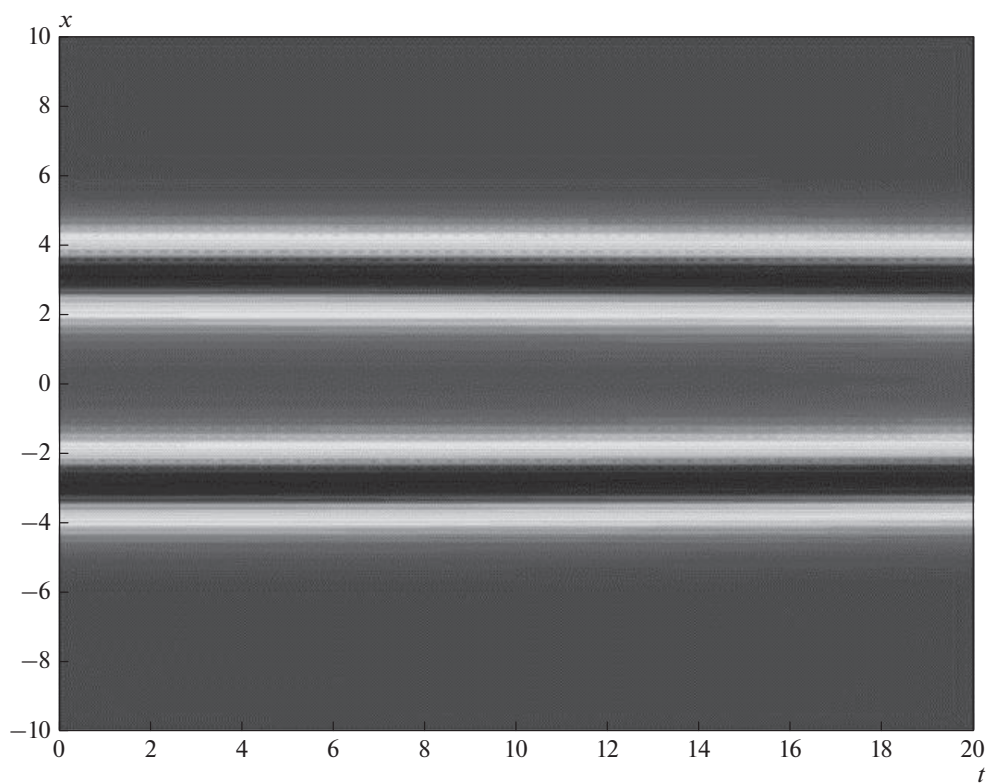


Рис. 9. Отсутствие взаимодействия импульсов GNLS (стационарная среда) при $\gamma = -1$, $\beta = 0.05$; случай отрицательной нелинейности.

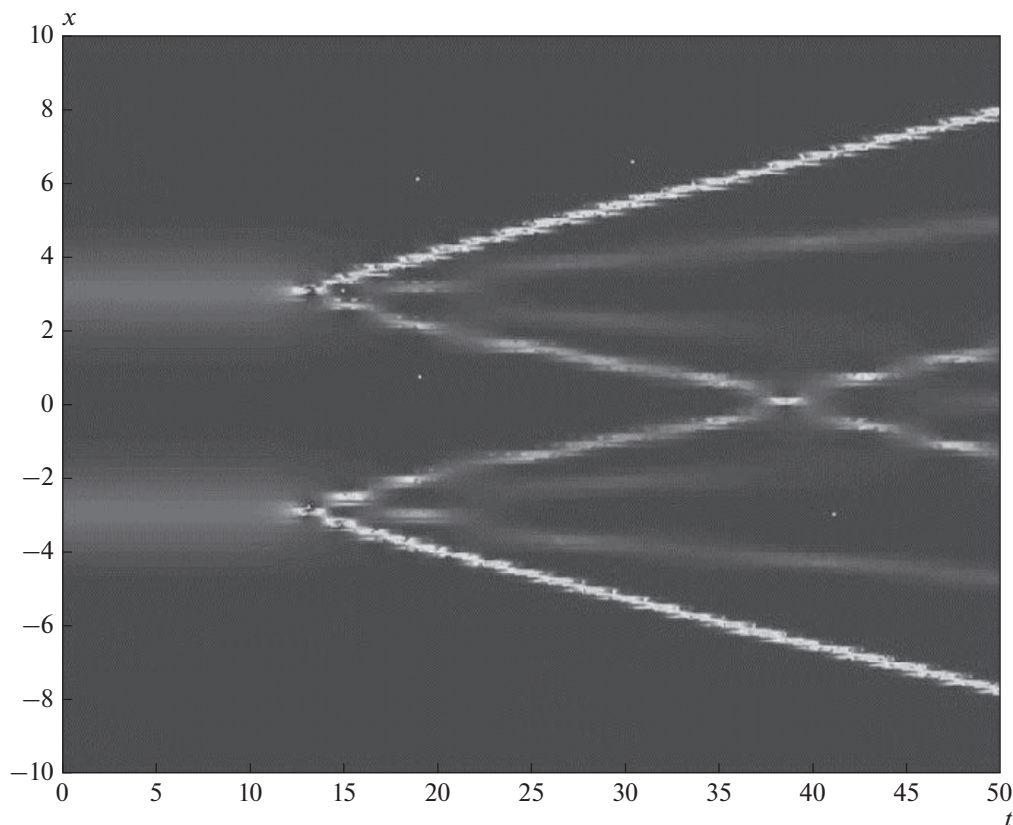


Рис. 10. Эволюция 2-импульсного возмущения в нестационарной среде при $\gamma = -1$, $\beta(t) = 0.5$ для $t \leq 15$ и $\beta(t) = 0.5[1 + 0.2\sin(2\pi t/15)]$ для $t > 15$; отрицательная нелинейность.

ходит в неустойчивый с малыми пульсациями. Такой случай можно видеть на рисунке 10 (ср. со случаем, представленным на рис. 9).

В численных экспериментах было также установлено, что при слабой отрицательной нелинейности, когда условие устойчивости выполняется, переход от устойчивой эволюции к режиму устойчивых пульсаций (бризеров) происходит при уменьшении начального расстояния s в начальных условиях (5) между импульсами [Belashov et al., 2019a; Белашов и др., 2019].

Детальному численному исследованию задач эволюции и взаимодействия 2D- и 3D-импульсов в модели 3-GNLS посвящены работы [Belashov et al., 2018b, 2019a, b; Belashov and Kharshiladze, 2019; Белашов и др., 2019, 2020].

3. ЗАКЛЮЧЕНИЕ

Резюмируя результаты, отметим следующее.

1. Мы обсудили проблему эволюции и динамики неоднородных решений обобщенного уравнения NLS (уравнения GNLS), как частного случая системы ВК, а именно: устойчивость 3D-решений уравнения 3-GNLS и динамику устойчивых и

неустойчивых решений уравнения NLS в стационарных и нестационарных средах.

2. В работе аналитически получены условия, разделяющие классы устойчивых и неустойчивых солитоноподобных решений уравнения GNLS, и найдены достаточные условия устойчивости одномерных решений.

3. Показано, что даже в простейшем 1D-случае уравнение GNLS имеет широкий класс устойчивых или квазиустойчивых решений типа солитонов и бризеров, а также неустойчивые пульсирующие решения, рассеивающиеся со временем.

4. Полученные аналитические результаты подтверждены численным исследованием случаев устойчивой и неустойчивой (с образованием бризеров) эволюции импульсов различной формы, а также взаимодействия 2- и 3-импульсных структур, приводящего к формированию устойчивых и неустойчивых решений.

ФИНАНСИРОВАНИЕ РАБОТЫ

Работа выполнена за счет средств субсидии, выделенной в рамках государственной поддержки Казанского федерального университета в целях повышения его конкурентоспособности среди ведущих мировых

научно-образовательных центров. Работа была поддержана Национальным научным фондом Грузии им. Шота Руставели (SRNF) (грант № FR17 252).

СПИСОК ЛИТЕРАТУРЫ

- *Белашов В.Ю.* Об устойчивости двумерных и трехмерных солитонов в слабо диспергирующих средах // ДАН СССР. Т. 320. № 1. С. 85–89. 1991.
- *Белашов В.Ю.* Проблема устойчивости трехмерных альфвеновских волн, распространяющихся в замагниченной плазме // Докл. АН. Т. 366. № 4. С. 465–467. 1999.
- *Белашов В.Ю., Харшиладзе О.А., Рогава Дж.Л.* Взаимодействие многомерных NLS-солитонов в неоднородной и нестационарной среде // Тр. XXVI Всеросс. откр. науч. конф. “Распространение радиоволн”, Казань, 1–6 июля 2019 г.: в 2 т. Казань: Изд-во Казан. ун-та. Т. 2. С. 491–494. 2019.
- *Белашов В.Ю., Харшиладзе О.А., Белашова Е.С.* Динамика солитонов обобщенного уравнения NLS в неоднородной и нестационарной среде: эволюция и взаимодействие // Пятнадцатая ежегодн. конф. “Физика плазмы в солнечной системе”, 10–14 февраля 2020 г. ИКИ РАН. М.: ИКИ РАН. С. 253. 2020.
- *Гинзбург В.Л., Ландау Л.Д.* К теории сверхпроводимости // ЖЭТФ. Т. 20. С. 1064–1967. 1950.
- *Захаров В.Е., Кузнецов Е.А.* Солитоны и коллапсы: два сценария эволюции нелинейных волновых систем // УФН. Т. 182. С. 569–592. 2012.
- *Кузнецов Е.А., Мушер С.Л.* Влияние коллапса звуковых волн на структуру бесстолкновительных ударных волн в замагниченной плазме // ЖЭТФ. Т. 91. Вып. 5(11). С. 1605–1619. 1986.
- *Belashov V.Yu., Vladimirov S.V.* Solitary waves in dispersive complex media. Theory, simulation, applications. Berlin, Heidelberg, New York, Tokyo: Springer-Verlag GmbH & Co. KG, 303 p. 2005.
- *Belashov V.Yu., Belashova E.S., Kharshiladze O.A.* Problem of stability of the multidimensional solutions of the BK class equations in space plasma // Adv. Space Res. V. 62. P. 65–70. 2018a.
- *Belashov V.Yu., Kharshiladze O.A., Rogava J.L.* Interaction of the multidimensional NLS solitons in non-uniform and nonstationary medium: modeling and stability problem // J. Astrophys. Aerospace Tech. V. 6. P. 38. 2018b.
- *Belashov V.Yu., Kharshiladze O.A., Rogava J.L.* Interaction of multidimensional NLS solitons in nonuniform and nonstationary medium // 2019 Russian Open Conference on Radio Wave Propagation (RWP), Kazan, Russia, July 1–6, 2019, Kazan Federal University. Proc. IEEE Xplore Digital Library. P. 535–538. 2019a.
- *Belashov V.Yu., Belashova E.S., Kharshiladze O.A.* The BK system: stability and interaction dynamics of the GKP and GNLS solitons // J. Lasers, Optics & Photonics. V. 6. P. 20–21. 2019b.
- *Belashov V.Yu., Kharshiladze O.A.* Numerical study of evolution and collisional interaction of the GNLS solitons in nonstationary and non-uniform media // J. Lasers, Optics & Photonics. V. 6. P. 33–34. 2019.